

مدل پیش روی محلی آبهای شور به طرف آبهای شیرین در زیرزمین

ابوالفضل شمسائی

استاد دانشکده مهندسی عمران دانشگاه صنعتی شریف

حمیدرضا صفوی

عضو هیئت علمی دانشکده عمران دانشگاه صنعتی اصفهان

چکیده: حرکت آبهای زیرزمینی در یک لایه اشباع از آب شور و شیرین که دارای سطح مشترک^۱ مشخص می‌باشد در اثر وجود شرایط مرزی^۲ مختلف از جمله: چاههای پمپاژ، تقدیمه طبیعی و تقدیمه مصنوعی، تابعی از زمان می‌باشد. برای بررسی چگونگی امر از مدل ریاضی کامپیوتوی مناسبی استفاده بعمل آمد که در آن محیط جریان به المانهای کوچک تقسیم‌بندی شده و سطح مشترک نیز توسط یکسری المان باگرهای مشخص به هم متصل، نمایش داده شد. با تغییر مکان سطح مشترک، موقعیت گره‌ها نیز تغییر کرده و در نتیجه موقعیت مکانی کل شبکه نیز با زمان تغییر نمود. در بررسی چگونگی حرکت آبهای شور و شیرین در لایه‌های آبداری که وسعت آنها در مقایسه با ضخامت‌شان زیاد است، از تغییرات ارتفاع نمایش دهنده فشار ($\frac{P}{\gamma}$) در جهت قائم صرفنظر شده و معادلات بنیادی مربوطه بصورت دو بعدی در یک صفحه افقی نوشته شد. در این مقاله مدل هیدرودینامیکی وضیعت سطح مشترک آب شور و شیرین که بصورت دستگاه معادلات دیفرانسیل جزئی غیرخطی می‌باشد ارائه و سپس با توجه به شرایط مرزی مختلف، حل عددی مدل مذبور به روش المانهای محدود ارائه گردیده است.

Regional Saltwater Intrusion Model

Abolfazl Shamsai, Ph.D.

Prof. of Civil Eng. Dept. Sharif Univ. of Technology

Hamid Reza Safavi, M.Sc.

Lecturer, Civil Eng. Dept. Isfahan Univ. of Technology

ABSTRACT

The movement of groundwater in saturated aquifer with a defined fresh and saltwater interface becomes time dependent under boundary conditions of pumping wells, natural replenishment and artificial recharge. A model is represented by a flow domain subdivided into small elements, and an interface shown by a series of elements connected by certain nodes in the mesh. As the interface moves, the location of its' nodes along with the entire mesh composition changes with time.

In conditions where aquifer surface area exceeds its' thickness, the change of pressure head in the vertical direction is neglected and the mathematical equations

are only presented for the horizontal plane. Two coupled nonlinear differential equations which are solved by the finite element method for various boundary conditions are submitted.

سپس توضیط (۱۹۰۱) Herzberg انجام گرفت. معادله‌ای که برای عمق سطح مشترک به دست آمد با اندازه‌گیریهای محلی بخوبی مطابقت می‌نمود، این معادله نشان می‌داد که به افزایش متراحت ارتفاع آب شیرین از سطح متوسط دریا، ضخامت آب شیرین واقع ببروی آب شور حدود ۴۰ متر می‌باشد. سپس (۱۹۴۰) Hubbert به جای تعادل هیدرواستاتیک، تعادل هیدرودینامیک سطح مشترک را مورد بررسی قرار داد و اختلاف بین عمق واقعی آب شور و عمقی را که توسط رابطه‌گذین-هرزبرگ برای شرایط جریان در نزدیکی خط ساحل به دست می‌آید، تعیین نمود. (۱۹۵۹) Glover شرایط جریان در نزدیکی ساحل را همانند جریان در یک سد خاکی نیم بی‌نهایت^۳ که ببروی پایه سنگی افقی قرار گرفته و از زیر زهکشی می‌گردد، معرفی نمود. البته به دلیل اینکه شرایط مرزی در این دو حالت یکسان نیست، بنابراین تشابه کاملاً نیزین این دو مدل وجود ندارد. (۱۹۵۹) Cooper عقیده داشت که با فرض وجود اختلالات ناپذیری دو سیال، آب شور ساکن نبوده و بین کف دریا و منطقه پراکنده‌ای از مخلوط آب شور و شیرین به جلو و عقب در حرکت است. وی بر این عقیده بود که پدیده جابجایی دو سیال مخلوط نشدنی که در آن محیط متخلخل اشغال شده توسط دو مایع مختلف که دارای یک سطح مشترک نازکند اختلاف دارد.

به دنبال مطرح شدن بحث پراکنده‌گی، (۱۹۶۰) Yih فرض نمود که منطقه گذران بین آب شور و شیرین از مایعی به جرم مخصوص و لزوجت متغیر اشغال شده است. تا قبل از وی نهوده حل مسئله اساساً به صورت تغییر مکان یک مایع مخلوط بود ولی وی جریان در یک محیط متخلخل را برای یک سیال ناهمگن حل نمود. اکنون نیز مطالعات در این زمینه براساس نظریات Yih همچنان ادامه دارد.

۱ - مدل هیدرودینامیکی سطح مشترک آب شور و شیرین در یک صفحه قائم

یکی از مسائل اساسی در مورد پیشوای آبهای شور به طرف آبهای شیرین، حرکت این سطح در اثر پیماز آب شیرین و یا تزیریق آن در زیرزمین می‌باشد که بدنبال آن تغییراتی در مقدار ذخیره آب شیرین و آب شور در بالا و پائین این سطح حاصل می‌گردد. دستیابی به موقعیت سطح مشترک ممکن است با وجود لایه‌های غیر قابل نفوذ^۴ و لایه‌های نیم تراوا^۵، امری مشکل و پیچیده شود. از این رو باستی توجه خاصی به موضوع مسئله، روش حل و تکنیکهای عددی که باستی بکار برده شود، نمود

مقدمه: کمبود عمومی آب شیرین، افزایش جمعیت و اهمیت کشاورزی در مناطق خشک دنیا، سبب گردیده است که متخصصین به فکر استفاده بهینه از آبهای شیرین موجود در کره زمین و همچنین جلوگیری از شور شدن آبهای شیرین بیافتد. قریب به ۹۷/۲ درصد از مجموع آبهای موجود در کره زمین شور بوده و از نقطه نظر آشامیدن و مصارف کشاورزی و صنعتی ارزش چندانی ندارد و فقط ۲/۸ درصد بقیه شیرین و قابل استفاده می‌باشد، (۱۹۷۳) Lvovich از این رو مقدار آب شیرین در سطح کره زمین نسبت به آب شور بسیار کم است. کشور ما از جنوب و شمال به آبهای شور محدود گردیده و از داخل نیز در یاچه‌های ارومیه، نیزه، مهارلو و قم دارای شوری بسیار زیادی می‌باشند. بنابراین به دلیل محدود بودن منابع آب شیرین قابل دسترسی در کشور لازم است از شور شدن آنها جلوگیری به عمل آورد. در مدیریت منابع آب مسئله پیشوای آبهای شور به طرف آبهای شیرین به ویژه در زیرزمین غالباً شان دهنده مسئله‌ای حاد در مورد کیفیت آب می‌باشد.

پیشوای آب شور عبارت است از حرکت آب از منابع آب شور (دریا) به طرف زمینهای آبدار آزاد یا تحت فشار، که منجر به جابجایی آب شیرین از سفرهای آبدار می‌گردد. هرگاه به عنوان اولین تقریب با آب شیرین و شور همانند دو مایع مخلوط نشدنی رفتار نمایم، این دو مایع توسط سطح مشترک مشخصی از یکدیگر جدا می‌گردند. به علت شب سطح مشترک، جبهه آب شور در اثر برداشت بیش از حد شروع به حرکت به سمت آب شیرین سطحی می‌نماید که در موقع بارندگی و تقدیز به دلیل جبران آب سطحی به طرف دریا عقب‌نشینی می‌نماید. در واقع آب شیرین و شور در منطقه‌ای از آب پراکنده مخلوط می‌گردند و گاهی اوقات لازم است که پراکنده‌گی آب شور را موردنظر قرار داد تا تصویر دقیقتری از آب زیرزمینی در مناطق ساحلی به دست آید. طول پاشنه پیشوای آب شور ممکن است در بعضی مواقع به چندین کیلومتر برسد و بنابراین آب شور ممکن است چاههای آب شیرین در مناطق مجاور را آلوده نموده و از این رو برداشت آب از آنها را منوع سازد و یا این که ممکن است تزیریق آب شیرین را لازم نماید تا به وسیله آب بتوان جلوی آب شور را سد نمود.

بررسی تعادل هیدرواستاتیک آب شور و شیرین در یک محیط متخلخل که در امتداد یک سطح مشترک معینی بدون پراکنده‌گی با یکدیگر در تماس‌اند، اولین بار توسط (۱۸۸۸) Ghyben و

از این رو در کل محیط جریان یکتابع تک مقدار 10° می‌باشد و این عمل برای تقریب‌های عددی بسیار مناسب و ساده‌کننده خواهد بود.

معادله پیوستگی با صرف نظر کردن از ذخیره الاستیک و تراکم پذیری سیال به صورت زیر بیان می‌گردد:

$$\frac{\partial q_x}{\partial x} + \frac{\partial q_y}{\partial y} = 0 \quad (3)$$

با جایگذاری معادلات (۱) و (۲) در معادله (۳)، معادله دیفرانسیلی که در تمامی محیط جریان صادق است به صورت زیر به دست می‌آید:

$$\frac{\partial}{\partial x} \left(\frac{k}{\mu} \frac{\partial p}{\partial y} \right) + \frac{\partial}{\partial y} \left(\frac{k}{\mu} \frac{\partial p}{\partial x} \right) = -\frac{\partial}{\partial x} \left(\frac{k}{\mu} \right) \quad (4)$$

برای حل معادله دیفرانسیل فوق نیاز به شرایط مرزی داریم. برای سادگی فرض می‌گردد که فشار در کف لا یه آبدار در همه نقاط برابر با مقدار ثابت P می‌باشد. این بدان معنا است که جریان آب به درون لا یه زیرین صفر است (لا یه غیرقابل نفوذ). همچنین فرض می‌گردد که ضرب نفوذپذیری و لزوجت در تمامی محیط جریان مقادیر ثابت دارند.

۳- معادلات بنیادی مدل پیشروی محلی آب شور در لایه‌های آبدار تحت فشار

جریان آب در لایه‌های آبداری که وسعت آنها در مقایسه با خاکامشان زیاد است، به صورتی است که می‌توان از تغییرات ارتفاع نمایش‌دهنده فشار در جهت قائم صرف نظر نمود و معادلات بنیادی را به صورت دو بعدی در یک صفحه افقی مورد بررسی قرار داد. مدل‌هایی از این قبیل توسط دانشمندان مختلفی نظیر Wilson and Pinder and Page (۱۹۷۷) همچنین (۱۹۸۲) Casta Sada مشکلات ویژه‌ای در ارتباط با محلهای برخورد سطح مشترک با لایه غیرقابل نفوذ وجود دارد که در این رابطه بایستی تکنیک‌های نسبتاً پیچیده‌ای به ویژه برای جریانهای غیردائمی بکاربرد.

در مدلی که برای جریان در یک صفحه قائم ارائه می‌گردد، محیط جریان به تعداد زیادی المانهای کوچک تقسیم‌بندی می‌گردد (شکل ۱). معمولاً فرض می‌شود که سطح مشترک شامل یکسری المانهای مرزی است که این المانها از سمت بالا حاوی آب شرین و از پایین حاوی آب شور می‌باشند. براین اساس، رفتار تابع زمان سطح مشترک را می‌توان براساس حرکت گره‌هایی که روی سطح مشترک قرار گرفته‌اند مشخص نمود و از این رو شکل شبکه تابعی از زمان خواهد بود.

مسئله اساسی که در این مدل به آن پرداخته می‌شود، حرکت سطح مشترک بدون در نظر گرفتن عواملی نظری ذخیره الاستیک^۱ و تغییرات ذخیره در اثر حرکت سطح آزاد لایه می‌باشد. از نظر فیزیکی هم، تغییرات ناشی از حرکت سطح مشترک ک به مراتب بیشتر از تغییرات ذخیره الاستیک و حرکت سطح آزاد لایه آبدار می‌باشد.

معادلات بنیادی که بایستی بکار برد، قانون دارسی^۷ و معادله پیوستگی^۸ می‌باشند. در موقعي که دانسیته سیال ثابت نمی‌باشد و با فرض همگنی محیط متخلخل، قانون دارسی را می‌توان به صورت زیر بیان نمود:

(جهت محور لایه به سمت بالا مثبت فرض می‌گردد).

$$q_x = -\frac{k}{\mu} \left(\frac{\partial p}{\partial x} \right) \quad (1)$$

$$q_y = \frac{-k}{\mu} \left(\frac{\partial p}{\partial y} + \gamma \right) \quad (2)$$

در این معادلات :

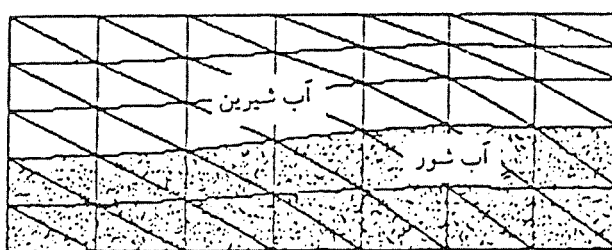
k = نفوذپذیری ذاتی^۹

μ = لزوجت دینامیکی

γ = وزن مخصوص سیال

P = فشار سیال است

در این فرمولهای قانون دارسی براساس فشار سیال بیان شده و نه براساس ارتفاع نمایش‌دهنده فشار آب شور و آب شیرین، و این بدان دلیل است که فشار در طول سطح مشترک پیوسته است و



شکل ۱ - شبکه‌بندی المانهایی مسئله سطح مشترک آب شورو شیرین.

$$-h < z < -H_1 : q = -K \nabla \phi \quad \text{در ناحیه آب شیرین:} \quad (8)$$

در ناحیه آب شور: $q = -K \nabla \phi + a K \nabla h$
که در آن K ضریب هدایت هیدرولیکی است و برای آب شیرین به صورت زیر تعریف می‌گردد:

$$K = \frac{k}{\mu \rho g} \quad (9)$$

و همچنین a عبارتست از:

$$a = \frac{\rho_s - \rho_f}{\rho_f} \quad (10)$$

معادلات پوستگی برای دو سیال عبارتند از:

$$S \frac{\partial h}{\partial t} = I_f - \nabla \cdot \{(h - H_2)q\} \quad \text{برای آب شیرین:} \quad (11)$$

$$-S \frac{\partial h}{\partial t} = I_s - \nabla \cdot \{(H_1 - h)q\} \quad \text{برای آب شور:} \quad (11)$$

که در این فرمولها:

S = ضریب ذخیره

I_s = میزان نشت آب شور

I_f = میزان نشت آب شیرین می‌باشد.

با جایگذاری معادلات (8) در معادلات (11)، یک دستگاه معادلات دیفرانسیل جزئی به صورت زیر بدست می‌آوریم:

$$\begin{aligned} S \frac{\partial h}{\partial t} &= I_f - \nabla \cdot \{K(h - H_2)\nabla \phi\} \\ -S \frac{\partial h}{\partial t} &= I_s + \nabla \cdot \{K(H_1 - h)\nabla \phi\} - \nabla \cdot \{aK(H_1 - h)\nabla h\} \end{aligned} \quad (12)$$

این دستگاه معادلات دیفرانسیل جزئی شامل دو متغیر h و ϕ می‌باشد که بایستی با استفاده از شرایط اولیه و مرزی حل گردد. برای ساده‌تر کردن دستگاه معادلات که شامل هر دو جنبه ریاضی و فیزیکی باشد، دو معادله فوق را با هم جمع می‌کنیم در این صورت یک معادله مستقل از زمان به شکل زیر بدست می‌آوریم:

$$-H_1 < z < -h: p = \rho_f g \phi - \rho_s g_z - (\rho_s - \rho_f)gh \quad (13)$$

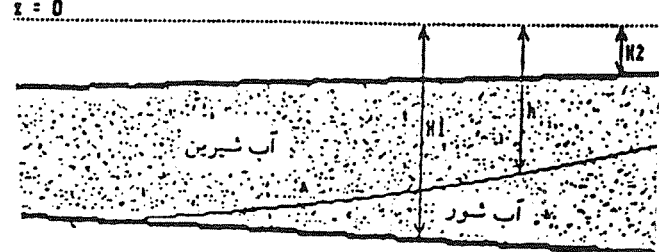
با استفاده از تعریف ضریب انتقال پذیری T داریم:

$$T = K(H_1 - H_2) \quad (14)$$

در معادله (13)، $I = I(x, y, t)$ بوده و خواهیم داشت:

$$I = I_f + I_s - \nabla \cdot \{aK(H_1 - h)\nabla h\} \quad (15)$$

راه حل بنادری برای حل دستگاه معادلات دیفرانسیل فوق بدین صورت است که در ابتدا مقدار ارتفاع نمایش دهنده فشار ϕ را به وسیله معادله (13) و با استفاده از شکل حدسی سطح مشترک که مقدار سمت راست معادله را بدست می‌دهد، تخمین



شکل ۲ - لایه آبدار تحت فشار حاوی آب شیرین و شور

جزیره‌ای از آب شور و شیرین در زیرزمین که توسط سطح مشترکی از یکدیگر جدا گردیده‌اند را در یک لایه تحت فشار در نظر می‌گیریم، این لایه آبدار توسط دو قشر غیرقابل نفوذ افقی مطابق شکل ۲ محصور گردیده است. لایه‌های بالای و پائینی با سطوح $z = -H_1$ و $z = -H_2$ نشان داده شده است. ضریب نفوذ پذیری را به آبدار را با K و جرم مخصوص آب شور را با ρ_s و آب شیرین را با ρ_f نشان می‌دهیم. فرض می‌گردد که لزجت دینامیکی هر دو سیال مبوده و همچنین موقعیت سطح مشترک بین دو سیال به وسیله تابع $(x, y, z) = h(x, y)$ نشان داده شود. با استفاده از فرضیات دوبویی که توزیع فشار در جهت قائم را به صورت هیدرواستاتیک در نظر می‌گیرد خواهیم داشت:

$$\frac{\partial p}{\partial z} = -\rho_g \quad (5)$$

در ناحیه آب شور $p = \rho$ و در ناحیه آب شیرین $p = \rho_f$ می‌باشد و g شتاب ثقل است. با انتگرال گیری از معادله (5) در جهت قائم می‌توان فشار را در هر دو فاز مایع به دست آورد. در ناحیه آب شیرین: $p = \rho_f g z - \rho_s g z = -H_2$: $p = \rho_f g z - \rho_s g z = -H_1$: $p = \rho_f g z - \rho_s g z - (\rho_s - \rho_f)gh$

معادلات (6) می‌تواند معادله (5) را ارضا نماید و همچنین فشار بر روی سطح مشترک $h = z$ پیوسته است. در معادلات (6) مقدار فشار هر دو سیال براساس دو متغیر h و ϕ که هر دو تابعی از مختصات x و y می‌باشند، بدست می‌آید. متغیر ϕ ارتفاع آب شیرین نسبت به سطح $z = 0$ می‌باشد. دلیل استفاده از متغیر ϕ این است که دیمانسیون آن با ارتفاع سطح مشترک، h ، یکی است. جریان هر دو سیال در صفحه افقی شامل محورهای x و y با توجه به قانون دارسی به صورت زیر یافته می‌گردد:

$$q = (k/\mu) \nabla p \quad (7)$$

به دلیل این که میزان تاثیر تفاوت لزجت بر روی شکل سطح مشترک بسیار کمتر از تفاوت در وزن حجمی سیال است (1980)، $Vernuijt$ ، بنابراین می‌توان با تقریب مناسبی فرض نمود که لزجت هر دو سیال با یکدیگر برابر است. با استفاده از معادلات (6) و (7) خواهیم داشت:

که در آن $T_a = T(H_1 - h)/(H_1 - H_2)$ نمایشگر ضرب انتقال پذیری کاهش یافته^{۱۳} می‌باشد. حال دستگاه معادلات (۱۹) و (۲۰) را با استفاده از متغیر جدیدی که به صورت زیر معروفی می‌گردد، تعمیم می‌دهیم:

$$f = \phi/a \quad (21)$$

با انتخاب این متغیر جدید، دستگاه معادلات دیفرانسیل جزئی به فرم زیر تبدیل می‌گردد:

$$-\nabla.(aT \nabla f) + \nabla.(aT_a \nabla h) = I_f + I_s \quad (22)$$

$$S(\partial h/\partial t) - \nabla \cdot (aT_a \nabla h) + \nabla \cdot (aT_a \nabla f) = -I_s \quad (23)$$

یکی از مزیت‌های این تغییر متغیر در معادلات فوق این است که ضرائب دو معادله یکی شده و دستگاه معادلات متقاضان می‌گردد. نهایتاً روش حل عددی معادلات دیفرانسیل جزئی (۲۲) و (۲۳) به صورت زیر می‌باشد:

$$\sum_{j=1}^n P_a(i,j)f(j) - \sum_{j=1}^n P_b(i,j)h(j) = Q_f(i) + Q_s(i) \quad (24)$$

$$-\sum_{j=1}^n P_b(i,j)f(j) + \sum_{j=1}^n \{P_b(i,j) + P_c(i,j)\}h(j) = (25)$$

$$-Q_s(i) + \sum_{j=1}^n P_c(i,j)h(j)$$

که در این معادلات بردار Q و ماتریس P معادل عددی ترم‌های مختلف معادلات دیفرانسیل (۲۲) و (۲۳) می‌باشد.

۴- نتیجه‌گیری^{۱۴}:

۱- در این مقاله برای تجزیه و تحلیل سطح مشترک آب شور و شیرین در یک لایه آبدار تحت فشار مدل ریاضی مناسبی (معادلات ۱۲ و ۱۳) ارائه شده است.

۲- در مدل ارائه شده، شرایط مرزی مختلف از جمله: چاههای پمپاژ آب شیرین، چاههای تندیه مصنوعی آب شیرین، تغذیه طبیعی از طریق نفوذ از سطح لایه آبدار و همچنین نشت از لایه زیرین قابل اعمال می‌باشد.

۳- با معلوم بودن موقعیت سطح مشترک در زمان $t=0$ می‌توان موقعیت آن را در هر زمان دیگر بدست آورد.

۴- با استفاده از روش حل ارائه شده می‌توان با یک شبکه بنده ساده برروی محیط جریان و مشخص نمودن تعداد گره‌ها و المانها و همچنین معلوم بودن جرم مخصوصهای آب شیرین و شور، مشخصات لایه آبدار و میزان برداشت یا تغذیه از هر گره، می‌توان موقعیت سطح مشترک، مقدار فشار و دبی آب شیرین و

می‌زنیم و سپس موقعیت دقیق سطح مشترک را با استفاده از دستگاه معادلات (۱۲) به دست می‌آوریم. این شیوه آنقدر تکرار می‌گردد تا به جواب نهایی همگرا برسیم. حسن این روش در همگرایی سریع و پایداری آن می‌باشد.

توجه فیزیکی برتری معادله پیوستگی (۱۳) نسبت به دیگر معادلات در این است که به راحتی می‌توان شرایط مرزی مختلف را در آن بکار برد.

۳- حل عددی مدل پیش روی محلی آب شور به روش المانهای محدود

برای حل معادله دیفرانسیل (۱۳) به روش المانهای محدود ما از ساده‌ترین شکل المان دو بعدی، یعنی المان مثلثی با توابع شکلی خطی برای h و ϕ استفاده خواهیم نمود. این روش با استفاده از یک دستگاه معادلات خطی به صورت زیر نوشته می‌شود:

$$\sum_{j=1}^n P(i,j) \phi(j) = Q(i) \quad (i = 1, 2, \dots, n) \quad (16)$$

که در آن n تعداد گره‌ها می‌باشد. ماتریس P شامل یک جمع بر روی همه المانهای $(k = 1, 2, \dots, m)$ زیر ماتریسها به شکل زیر می‌باشد:

$$P_k(i,j) = \frac{T_k}{2|\Delta|} \{b(i)b(j) + c(i)c(j)\} \quad (i,j=1,2,3) \quad (17)$$

که در آن:

$$\Delta = x(1)b(1) + x(2)b(2) + x(3)b(3)$$

بردار Q برای هر المان به صورت زیر تعییف می‌گردد:

$$Q_k(i) = I |\Delta| / 6 \quad (i=1,2,3) \quad (18)$$

به دلیل این که مساحت هر المان مثلثی برابر با $\frac{1}{2}|\Delta|$ می‌باشد، بنابراین طرف راست معادله (۱۸) نمایشگر ثلث ورودی به هر المان است که این ورودی بطور مساوی برروی هر سه گره تقسیم می‌گردد. بنابراین معادله (۱۶) بیان کننده معادله پیوستگی جریان در گره i ام می‌باشد. عبارت $\sum P(i,j)\phi(j)$ معادل عددی عبارت $\nabla \cdot (T \nabla \phi)$ - خواهد بود.

روش فوق بایستی برای معادله (۱۳) و همزمان با یکی از معادلات (۱۲) بکار برد شود. اگر از معادله آب شور به عنوان دومین معادله استفاده گردد، دستگاه معادلات دیفرانسیل به فرم زیر خواهد بود:

$$-\nabla \cdot (T \nabla \phi) = I_f + I_s - \nabla \cdot (aT_a \nabla h) \quad (19)$$

$$S(\partial h/\partial t) - \nabla \cdot (aT_a \nabla h) + \nabla \cdot (T_a \nabla \phi) = -I_s \quad (20)$$

پاورقی :

- 1. Interface
- 2. Boundary Conditions
- 3. Semi Infinite
- 4. Impermeable Layers
- 5. Semi-Permeable Layers
- 6. Elastic Storage
- 7. Darcy's Law
- 8. Continuity Equation
- 9. Interinsie Permeability
- 10. Single- valued function

11. Regional interface model

12. Transmissivity

13. Reduced transmissivity

۱۴ - برنامه کامپیوتری مدل فرق توسط نویسندهای مقاله تهیه گردیده و برای کنترل آن در چند منطقه با اندازه گیری‌های محلی اطلاعات مورد نیاز برنامه جمع آوری شد و سپس نتایج حاصل از بررسی کامپیوتری با اندازه گیری‌های محلی مطابقت داده شد که تطابق بسیار خوبی بدست آمد. جهت اطلاعات بیشتر در مورد نرم افزار تهیه شده می‌توانید با نویسندهای مقاله تماس حاصل فرمائید.

مراجع :

- 1- Lvovich, J., (1973), "Hydrologic cycle in the world", *Water of the world*, Vol. 73, No.1, pp. 49-61.
- 2- Hubbert, M.K., (1940), "The theory of ground-water motion", *Mc-Graw Hill Book Company*, pp. 95.
- 3- Glover, R.E., (1959), "The pattern of fresh-water flow in a coastal aquifer," *Journal of geophysical research*, Vol. 64, No.4, pp. 457-459.
- 4- Cooper, H.H., (1959), "A hypothesis concerning the dynamic balance of fresh water and salt water in a coastal aquifer," *Journal of geophysical research*, Vol. 64, No. 4, pp. 461-467.
- 5- Yih, C.S., (1960), "Flow of a non-homogeneous fluid in a porous medium," *Jurnal of fluid mechanics*, Vol. 10, pp. 133-140.
- 6- Shamir, U., and Dagan, G., (1971), "Motion of the seawater interface in coastal aquifers: A numerical solution," *Water Resour. Res*, No. 7, pp. 644-657.
- 7- Pinder, G.G., and Page, R.H., (1977), "Finite element simulation of salt water intrusion on the south fork of long island," *Pentech Press, London*, 2.52-2.69.
- 8- Wilson, J.L., and Sada Costa, A., (1982), "Finite element simulation of a saltwater- fresh water interface with interface toe tracking," *Water Resour. Res*, No. 18, pp. 1078-1080.
- 9- Verruijt, A., (1980), "The rotation of a vertical interface in a porous medium," *Water Resour. Res*, No. 16, pp. 239-240.
- 10- Bear, J., (1979), "Hydraulics of groundwater," *Mc Graw-Hill Book Company*.
- 11- Reid, J.K., (1971), "On the method of gradients for the solution of large sparse systems of linear equations," *Academic Press, London*, pp. 231-253.